

УДК 547.221+547.544+547.77+547.79

О РЕГІОСЕЛЕКТИВНОСТИ РЕАКЦІЙ АЛКИЛИРОВАННЯ ОЛЕФІНАМИ ПОЛІФТОРАЛКІЛЗАМЕЩЁННЫХ *NH*-ПІРАЗОЛОВ И *NH*-1,2,3-ТРИАЗОЛОВ

А.С.Канищев, В.М.Тимошенко, С.А.Бут, А.Н.Чернега, Ю.Г.Шермолович*

Інститут органіческої хімії НАН України
02094, г. Київ, ул. Мурманська, 5. E-mail: sherm@ioch.kiev.ua

Ключові слова: 1,2,3-триазол; піразол; винилетиловий ефір; регіоселективність; рентгеноструктурне исследование

Присоединение 3-полифторалкил-4-(*p*-толилсульфонил)-1*H*-пиразолов и 4-полифторалкил-5-(*p*-толилсульфонил)-1,2,3-триазолов к винилетиловому эфиру и 3,4-дигидро-2*H*-пірану проходит регіоселективно с образованием 1-*N*-алкил-3-полифторалкил-4-(*p*-толилсульфонил)-1*H*-пиразолов и 2-*N*-алкил-4-полифторалкил-5-(*p*-толилсульфонил)-1,2,3-триазолов соответственно. Строение продуктов присоединения доказано рентгеноструктурным методом.

ABOUT REGIOSELECTIVITY OF ALKYLATION REACTIONS OF POLYFLUORO-ALKYLSUBSTITUTED NH-PYRAZOLES AND NH-1,2,3-TRIAZOLES BY OLEFINES

O.S.Kanishchev, V.M.Timoshenko, S.A.But, A.N.Chernega, Yu.G.Shermolovich

Addition of 3-polyfluoroalkyl-4-(*p*-tolylsulfonyl)-1*H*-pyrazoles and 4-polyfluoroalkyl-5-(*p*-tolylsulfonyl)-1,2,3-triazoles to vinylethyl ether and 3,4-dihydro-2*H*-pyrane proceeds regioselectively with formation of 1-*N*-alkyl-3-polyfluoroalkyl-4-(*p*-tolylsulfonyl)-1*H*-pyrazoles and 2-*N*-alkyl-4-polyfluoroalkyl-5-(*p*-tolylsulfonyl)-1,2,3-triazoles, respectively. The structures of adducts were confirmed by the X-ray diffraction method.

ПРО РЕГІОСЕЛЕКТИВНІСТЬ РЕАКЦІЙ АЛКІЛУВАННЯ ОЛЕФІНАМИ ПОЛІФЛУОРАЛКІЛЗАМІЩЕНИХ NH-ПІРАЗОЛІВ ТА NH-1,2,3-ТРИАЗОЛІВ

O.С.Каніщев, В.М.Тимошенко, С.А.Бут, О.М.Чернега, Ю.Г.Шермолович

Приєднання 3-поліфлуоралкіл-4-(*p*-толілсульфоніл)-1*H*-піразолів та 4-поліфлуоралкіл-5-(*p*-толілсульфоніл)-1,2,3-триазолів до вінілетилового етеру і 3,4-дигідро-2*H*-пірану проходить регіоселективно з утворенням 1-*N*-алкіл-3-поліфлуоралкіл-4-(*p*-толілсульфоніл)-1*H*-піразолів та 2-*N*-алкіл-4- поліфлуоралкіл-5-(*p*-толілсульфоніл)-1,2,3-триазолів відповідно. Будову продуктів приєднання доказано рентгеноструктурним методом.

Одной из характерных проблем, которые возникают при получении *N*-алкил(ацил) замещенных производных пиразолов и 1,2,3-триазолов из соответствующих *NH*-азолов, является региоселективность такого типа реакций, приводящих в большинстве случаев к смеси региоизомеров с заместителями у разных атомов азота [1].

Ранее при исследовании реакций хлорирования 5-полифторалкилзамещенных *v*-триазолов нами было показано, что наличие арил(бензил)сульфонильного фрагмента или атома хлора в положении 4 этих соединений позволяет получать только один из трех возможных *N*-Cl региоизомеров с атомом хлора у азота в положении 2 [2]. В той же работе нами была показана возможность региоселективного синтеза 2-*N*-алкилзамещенных производных 1,2,3-триазола на примере присоединения 2-хлор-4-(*n*-толилсульфонил)-5-(1,1,2,2,3,3-гексафторпропил)-2*H*-[1,2,3]триазола (**1**) к винилетиловому эфиру (схема 1).

Реакции присоединения к C=C связям олефинов в принципе известны не только для *N*-Cl 1,2,3-триазолов, но и для *NH*-триазолов на примере 1,2,3-бензотриазола [3]. Эти реакции приводят к получению смесей двух региоизомерных продуктов присоединения в разных соотношениях.

Целью настоящей работы было исследование влияния полифторалкильных и арилсульфонильных заместителей в молекулах *v*-триазолов на возможность протекания реакций их присоединения по C=C связям алкилвиниловых эфиров и на

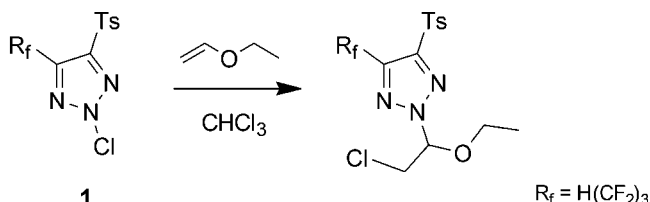


Схема 1

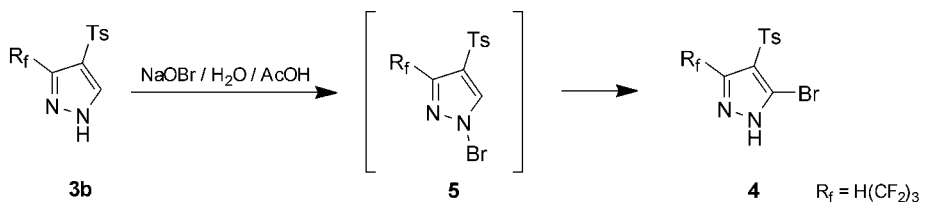


Схема 2

регіохіміческий результат цього присоєднення, а також вияснення можливості впливу узначеных замісників на аналогичні реакції *NH*-пиразолів.

В качестве исходных гетероциклов мы использовали 1,2,3-триазолы **2a-b** [2] и пиразолы **3a-b** [4], синтезированные нами на основе 1,1-дигидрополифторалкилсульфонов [5], а также 5-бромпиразол **4**. Соединение **4** было получено при бромировании пиразола **3b** водным раствором NaOBr в AcOH, по-видимому, в результате перегруппировки промежуточно образующегося *N*-бромопроизводного **5**. Известно [6], что пиразолы, замещенные в положении 4, в результате реакции броми-

рования образуют *N*-бромопроизводные, которые перегруппировываются в 5-бромпиразолы (схема 2).

Соединения **2**, **3** реагируют с винилетилевым эфиром и 3,4-дигидро-2*H*-пираном при непрерывном кипячении в четыреххлористом углероде с образованием только одного из нескольких возможных регіоизомеров. Такое согласованное влияние электроноакцепторных заместителей позволяет получать *N*-алкильированные азолы **6-9** с высокими выходами. Из бромопиразола **4** также регіоселективно был получен продукт реакции присоединения к винилетилевому эфиру **10** (схема 3).

Строение соединений **6a** и **8b** однозначно доказано рентгеноструктурным методом. Основные

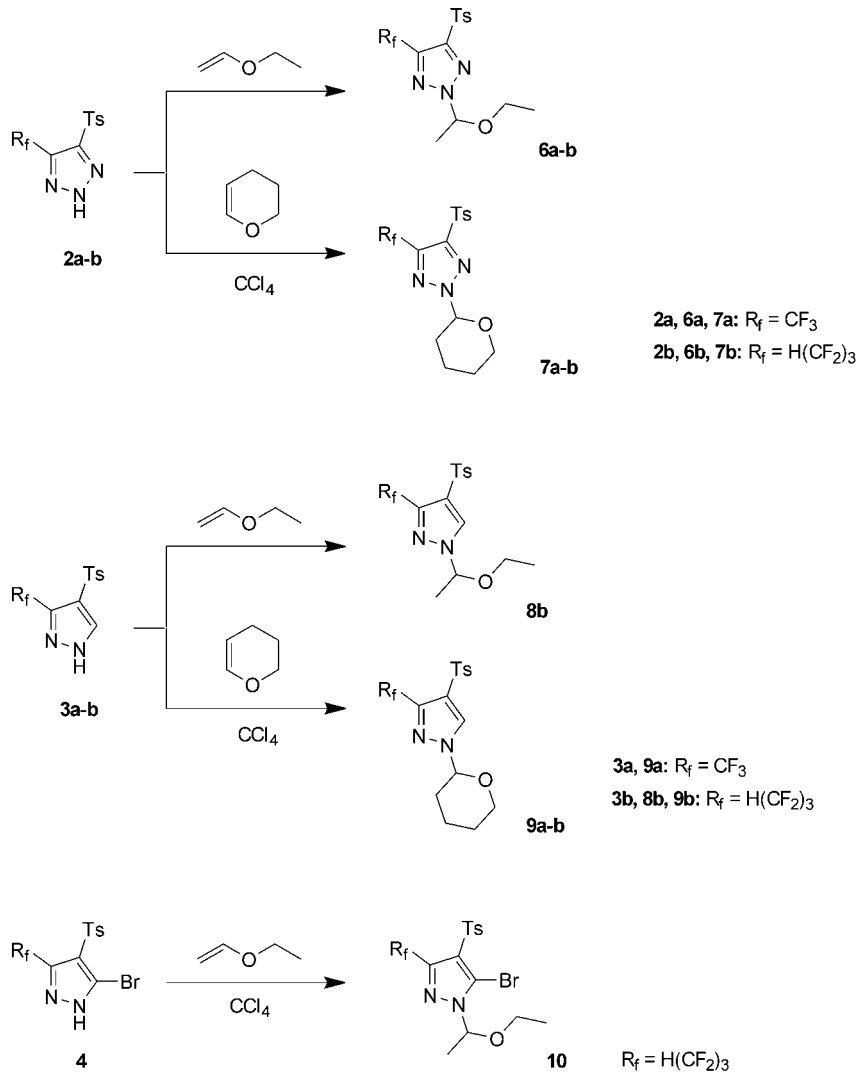


Схема 3

Таблиця

Кристаллографические данные и параметры рентгеноструктурного эксперимента для соединений 6a и 8b

Соединение	6a	8b
Эмпирическая формула	C ₁₄ H ₁₆ F ₃ N ₃ O ₃ S	C ₁₇ H ₁₈ F ₆ N ₂ O ₃ S
Молекулярная масса	363.4	444.4
Параметры элементарной ячейки		
a[Å]	8.2248(2)	7.1274(2)
b[Å]	9.1566(3)	9.1965(2)
c[Å]	12.7757(4)	16.0466(4)
α[°]	76.925(3)	84.968(2)
β[°]	77.279(2)	80.113(2)
γ[°]	64.754(2)	68.392(2)
V[Å ³]	839.29(4)	963.03(4)
Z	2	2
D _{расч.} [г·см ⁻³]	1.44	1.53
Сингония	Триклинная	Триклинная
Пространственная группа	P-1	P-1
μ [см ⁻¹]	2.42	2.46
F(000)	376	456
Размеры кристалла [мм]	0.12×0.37×0.47	0.11×0.35×0.35
Сегмент сферы	-10 ≤ h ≤ 10 -11 ≤ k ≤ 10 -16 ≤ l ≤ 15	-8 ≤ h ≤ 8 -10 ≤ k ≤ 10 -19 ≤ l ≤ 15
θ _{max} [°]	27.7	25
Количество отражений:		
собрано	7734	4759
независимых	3879	3259
использовано в уточнении	2589	2635
R _{усредн.}	0.0275	0.0176
Ограничение	I ≥ 2σ(I)	I ≥ 2σ(I)
Количество уточняемых параметров	270	334
Конечные значения R-факторов:		
R ₁ (F)	0.046	0.036
R _w (F ²)	0.104	0.086
GOF	1.028	1.049
Весовые коэффициенты	0.0494, 0.1369	0.0438, 0.4646
Минимум и максимум остаточной электронной плотности [e cm ⁻³]	-0.24/0.25	-0.33/0.27

кристаллографические параметры, а также детали съемки и расшифровки данных структур приведены в таблице. Общий вид, а также основные длины связей и валентные углы молекул 6a и 8b приведены на рис. 1 и рис. 2.

В обеих молекулах центральные гетероциклические системы N(1)-N(3)C(1)C(2) в соединении

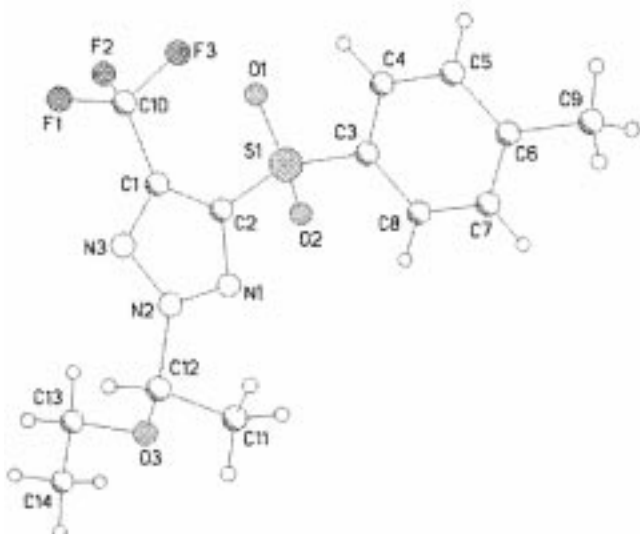


Рис. 1. Общий вид молекулы соединения 6a.

Основные длины связей (Å) и валентные углы (град.): C(1)-C(2) 1.393(3), C(2)-N(1) 1.337(2), N(1)-N(2) 1.316(2), N(2)-N(3) 1.330(2), N(3)-C(1) 1.329(2), C(2)-S(1) 1.765(2), S(1)-C(3) 1.748(2), N(2)-C(12) 1.501(3), N(2)C(12)O(3) 110.1(2), O(3)C(12)C(11) 109.0(2), N(2)C(12)C(11) 108.7(2), C(2)S(1)C(3) 103.0(1), N(1)N(2)N(3) 116.1(2), N(2)N(3)C(1) 103.0(2), N(3)C(1)C(2) 109.1(2), C(1)C(2)N(1) 108.1(2), C(2)N(1)N(2) 103.6(2).

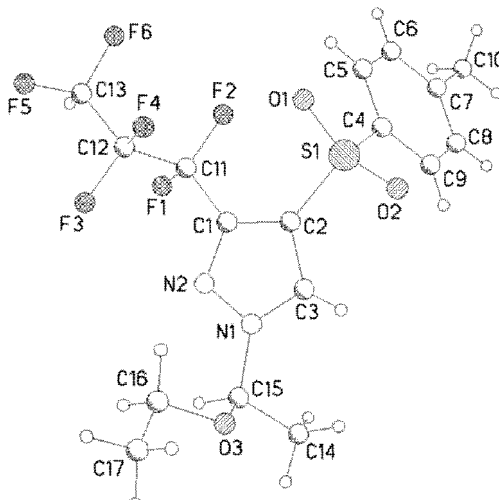


Рис. 2. Общий вид молекулы соединения 8b.

Основные длины связей (Å) и валентные углы (град.): C(1)-C(2) 1.414(3), C(2)-C(3) 1.375(3), C(3)-N(1) 1.343(3), N(1)-N(2) 1.353(2), N(2)-C(1) 1.329(3), C(2)-S(1) 1.756(2), S(1)-C(4) 1.758(2), N(1)-C(15) 1.482(3), N(1)C(15)O(3) 109.9(2), O(3)C(15)C(14) 107.9(2), N(1)C(15)C(14) 111.3(2), C(2)S(1)C(4) 106.5(1), N(1)N(2)C(1) 104.8(2), N(2)C(1)C(2) 111.3(2), C(1)C(2)C(3) 104.4(2), C(2)C(3)N(1) 107.2(2), C(3)N(1)N(2) 112.37(17).

6a и N(1)N(2)C(1)-C(3) в соединении 8b практически планарные: отклонения атомов от среднеквадратичной плоскости не превышают 0,003 Å для 6a и 0,005 Å для 8b; фенильное кольцо

C(4)-C(9) молекулы **6a** развернуто на 103,0° относительно центральной гетероциклической системы этой молекулы, тогда как для молекулы **8b** соответствующий угол составляет 104,2°. Атом N(2) молекулы **6a** также как и атом N(1) молекулы **8b** имеют плоскотригональную конфигурацию связей (сумма валентных углов при этих атомах составляет 360,0°). Сопряжение неподеленной электронной пары атомов N(2) в **6a** и N(1) в **8b** с π-системами гетероциклов N(1)-N(3)C(1)C(2) для **6a** и N(1)N(2)C(1)-(3) для **8b** приводят к существенной делокализации электронной плотности в данных системах. Атомы O(3) и C(11) молекулы **6a** выходят из плоскости цикла N(1)-N(3)C(1)C(2) на -1,014 и 1,313 Å, а атомы O(3) и C(14) молекулы **8b** выходят из плоскости цикла N(1)N(2)C(1)-(3) на 1,361 и -0,913 Å соответственно.

Результаты квантово-химических расчетов вероятных продуктов присоединения по каждому из атомов азота триазола **2b** в базисе 6-31G по программе GAMESS [7] показывают, что продукт присоединения к атому азота *N*2 является наиболее термодинамически стабильным. Вероятными причинами этого, по нашему мнению, являются минимальный стерический фактор и электронные эффекты полифторалкильной и тозильной групп, связанные с поляризацией гетероцикла в целом. В случае присоединения к атому азота *N*1 (по соседству с тозильной группой) энталпия продукта присоединения больше на 6,7 ккал/Моль, а в случае присоединения по центру *N*3 (рядом с фторированным заместителем) еще больше — на 8,6 ккал/Моль. Можно также предположить, что роль стерических факторов будет более существенной и в соответствующих переходных состояниях реакции присоединения, что также способствует образованию продукта присоединения по атому азота *N*2.

Экспериментальная часть

Спектры ЯМР измеряли на приборе Varian VXR-300 с рабочими частотами 299,9 МГц для ЯМР ¹H, 282,2 МГц для ЯМР ¹⁹F, 75,4 МГц для ЯМР ¹³C. Химические сдвиги приведены в шкале δ; внутренний стандарт Me₄Si для ЯМР ¹H и ¹³C, для ЯМР ¹⁹F — внутренний стандарт C₆F₆ (δ = -162,9 м.д. относительно CCl₃F). Все растворители были предварительно высушены и перегнаны согласно стандартным методикам.

3-(1,1,2,2,3,3-Гексафторпропил)-4-(*n*-толилсульфонил)-1H-пиразол (3b) [5]. К кипящей суспензии 3,5 ммоль сульфата гидразина и 7 ммоль K₂CO₃ в 25 мл CH₃CN при перемешивании добавляли раствор 3,5 ммоль 1-диметиламино-4,4,5,5,6,6-гексафтор-2-(*n*-толилсульфонил)-гекс-1-ен-3-она [4] в 10 мл CH₃CN, реакционную смесь кипятили при перемешивании 3 ч, фильтровали и упаривали досуха в вакууме. Остаток растворяли в 25 мл 10% водного раствора NaOH, полученный раствор промывали 2×20 мл CHCl₃, далее водный раствор

подкисляли HCl и экстрагировали выпавшее масло 2×25 мл CHCl₃. Экстракт высушивали над Na₂SO₄, фильтровали и упаривали в вакууме до объема 10 мл. При -18°C из этого объема CHCl₃ выпадал кристаллический осадок, который отфильтровали и высушили в вакууме. Получили 1,0 г (77%) пиразола **3b** в виде кристаллов белого цвета. Т.пл. — 118–120°C. ЯМР ¹H (CDCl₃, δ, м.д., J/Гц): 2,38 (с, 3H, CH₃), 6,33 (т.т., 1H, HCF₂, ²J_{HF} = 52.3, ³J_{HF} = 6.0), 7,27, 7,76 (оба д, по 2H, C₆H₄, ³J_{HH} = 8.0), 8,17 (с, 1H, NCH). ЯМР ¹⁹F (CDCl₃, δ, м.д., J/Гц): -107,18, -131,94 (оба м, 2F, CF₂), -138,44 (д.м., 2F, HCF₂, ²J_{HF} = 52.3). ЯМР ¹³C (ДМСО-d₆, δ, м.д., J/Гц): 20,96 (с, CH₃(Ar)), 108,37 (т.т., HCF₂CF₂CF₂, J_{CF} = 252,0, ²J_{CF} = 29,5), 110,42 (т.т., HCF₂CF₂CF₂, J_{CF} = 251,2, ²J_{CF} = 30,0), 112,32 (т.м., HCF₂CF₂CF₂, J_{CF} = 262,0), 123,33 (с, C_(Ar)SO₂), 127,13, 129,85 (оба с, C_(Ar)H), 136,74 (с, NCH), 137,44 (т, C(Pyr)CF₂, J_{CF} = 32,0), 138,90 (с, C(Pyr)SO₂), 144,26 (с, C_(Ar)Me).

4-(*n*-Толилсульфонил)-3-трифторметил-1H-пиразол (3a). Получали из 1-диметиламино-4,4,4-трифторм-3-(*n*-толилсульфонил)-бут-1-ен-3-она [4] аналогично **3b**, но высущенные над Na₂SO₄ экстракты упаривали в вакууме досуха, а затвердевший остаток растирали с гексаном, отфильтровывали и высушивали в вакууме. Получили 0,46 г (45%) пиразола **3a** в виде кристаллов белого цвета. Т.пл. — 133–135°C. ЯМР ¹H (CDCl₃, δ, м.д., J/Гц): 2,43 (с, 3H, CH₃), 7,33, 7,83 (оба д, по 2H, C₆H₄, ³J_{HH} = 8,0), 8,26 (с, 1H, NCH). ЯМР ¹⁹F (CDCl₃, δ, м.д.): -61,58 (с, CF₃). ЯМР ¹³C (ацетон-d₆, δ, м.д., J/Гц): 21,42 (с, CH₃(Ar)), 121,25 (кв, CF₃, J_{CF} = 269,2), 123,80 (с, C_(Ar)SO₂), 128,32, 130,67 (оба с, C_(Ar)H), 136,79 (кв, NCH, ⁴J_{CF} = 2,1), 139,40 (кв, CCF₃, ²J_{CF} = 39,0), 140,15 (с, C(Pyr)SO₂), 145,45 (с, C_(Ar)Me).

5-Бром-3-(1,1,2,2,3,3-гексафторпропил)-4-(*n*-толилсульфонил)-1H-пиразол (4). К раствору 2,5 ммоль пиразола **3b** в 25 мл AcOH при перемешивании добавили по каплям 38 г 7% водного раствора NaOBr. Реакционную смесь перемешивали 4 ч и отфильтровали выпавший осадок соединения **4**. Получили 1,0 г (89%) бромпиразола **4**. Т.пл. — 102–105°C. ЯМР ¹H (CDCl₃, δ, м.д., J/Гц): 1,94 (с, 1H, NH), 2,34 (с, 3H, CH₃), 6,44 (т.т., 1H, HCF₂, ²J_{HF} = 52,5, ³J_{HF} = 6,0), 7,24, 7,82 (оба д, по 2H, C₆H₄, ³J_{HH} = 8,0). ЯМР ¹⁹F (CDCl₃, δ, м.д., J/Гц): -105,97, -131,12 (оба м, 2F, CF₂), -138,2 (д.м., 2F, HCF₂, ²J_{HF} = 52,5). ЯМР ¹³C (ДМСО-d₆, δ, м.д., J/Гц): 21,13 (с, CH₃(Ar)), 108,62 (т.т., HCF₂CF₂CF₂, J_{CF} = 251,0, ²J_{CF} = 29,0), 110,63 (т.м., HCF₂CF₂CF₂, J_{CF} = 262), 111,88 (т.т., HCF₂CF₂CF₂, J_{CF} = 252,0, ²J_{CF} = 30,0), 121,10 (с, C_(Ar)SO₂), 126,98, 130,17 (оба с, C_(Ar)H), 138,11 (т, C(Pyr)CF₂, J_{CF} = 39,0), 138,54 (с, C(Pyr)SO₂), 144,99 (с, C_(Ar)Me), 172,15 (с, NCH).

Синтез соединений 6–10 (общая методика). К суспензии 2 ммоль азола **2**, **3** в 10 мл CCl₄ прибавили 3 ммоль винилэтилового эфира (для соеди-

нений **6**, **8**, **10**) или 3,4-дигидро-2*H*-пирана (для соединений **7**, **9**), реакционную смесь кипятили 2 ч, упарили в вакууме досуха. Получили соединения **6-10**.

4-(*n*-Толилсульфонил)-5-трифторметил-2-(1-этоксиэтил)-2*H*-[1,2,3]триазол (6a**).** Выход — 88%, св.-желтые иглы с Т.пл. 83–84°C (из Et₂O). ЯМР ¹H (CDCl₃, δ, м.д., J/Гц): 1.14 ABX₃ (д.д., 3H, CH₃CH₂O, ³J_{HH} = 7.0), 1.77 (д, 3H, CH₃CH, J = 6.0), 2.45 (с, 3H, CH₃(Ar)), 3.46 ABX₃ (д.д.кв., 2H, CH₃CH₂O, J_{AB} = 9.6, ³J_{HH} = 7.0), 5.80 (кв, 1H, NCH, J = 6.0), 7.36, 7.94 (оба д, по 2H, C₆H₄, ³J_{HH} = 8.0). ЯМР ¹⁹F (CDCl₃, δ, м.д.): –60.78 (с, CF₃). ЯМР ¹³C (ДМСО-d₆, δ, м.д., J/Гц): 14.43 (с, CH₃CH₂), 20.31 (с, CH₃CH), 21.17 (с, CH₃(Ar)), 64.94 (с, CH₃CH₂), 92.36 (с, CH₃CH), 119.22 (кв, CF₃, J_{CF} = 270.0), 128.07, 130.49 (оба с, C(Ar)H), 135.52 (кв, CCF₃, ²J_{CF} = 40.0), 135.69 (с, C(Ar)SO₂), 145.80 (с, C(Het)SO₂), 146.21 (с, C(Ar)Me).

4-(1,1,2,2,3,3-Гексафторпропил)-5-(*n*-толилсульфонил)-2-(1-этоксиэтил)-2*H*-[1,2,3]триазол (6b**).** Выход — 93%, св.-желтое масло. ЯМР ¹H (CDCl₃, δ, м.д., J/Гц): 1.11 ABX₃ (д.д., 3H, CH₃CH₂O, ³J_{HH} = 7.0), 1.76 (д, 3H, CH₃CH, J = 6.0), 2.45 (с, 3H, CH₃(Ar)), 3.43 ABX₃ (д.д.кв., 2H, CH₃CH₂O, J_{AB} = 9.0, ³J_{HH} = 7.0), 5.80 (кв, 1H, NCH, J = 6.0), 6.29 (т.т., 1H, HCF₂, ²J_{HF} = 52.5, ³J_{HF} = 6.0), 7.36, 7.91 (оба д, по 2H, C₆H₄, ³J_{HH} = 8.0). ЯМР ¹⁹F (CDCl₃, δ, м.д., J/Гц): –108.06, –131.55 (оба м, 2F, CF₂), –138.01 (д.м., 2F, HCF₂, ²J_{HF} = 52.5). ЯМР ¹³C (ДМСО-d₆, δ, м.д., J/Гц): 14.43 (с, CH₃CH₂), 20.25 (с, CH₃CH), 21.17 (с, CH₃(Ar)), 64.93 (с, CH₃CH₂), 92.34 (с, CH₃CH), 108.29 (т.т., HCF₂CF₂CF₂, J_{CF} = 251.0, ²J_{CF} = 29.0), 108.92 (т.м., HCF₂CF₂CF₂, J_{CF} = 261.0), 112.22 (т.т., HCF₂CF₂CF₂, J_{CF} = 252.0, ²J_{CF} = 29.0), 128.12, 130.24 (оба с, C(Ar)H), 136.48 (с, C(Ar)SO₂), 146.12 (т., CCF₂, ²J_{CF} = 31.5), 145.67 (с, C(Het)SO₂), 146.08 (с, C(Ar)Me).

2-(Тетрагидропиран-2-ил)-4-(*n*-толилсульфонил)-5-трифторметил-2*H*-[1,2,3]триазол (7a**).** Выход — 95%, белые кристаллы с Т.пл. 122–124°C (из CC₁₄). ЯМР ¹H (CDCl₃, δ, м.д., J/Гц): 1.70, 2.07, 2.34 (все м, 6H, CHCH₂CH₂CH₂), 2.44 (с, 3H, CH₃(Ar)), 3.73 (м, 1H, OCH_ACH_B), 3.97 (м, 1H, OCH_ACH_B), 5.78 (д.д., 1H, NCH, ³J_{HH} = 2.5, ³J_{HH} = 8.0), 7.36, 7.94 (оба д, по 2H, C₆H₄, ³J_{HH} = 8.0). ЯМР ¹⁹F (CDCl₃, δ, м.д.): –60.85 (с, CF₃). ЯМР ¹³C (ДМСО-d₆, δ, м.д., J/Гц): 20.01 (с, CHCH₂CH₂CH₂), 21.18 (с, CH₃(Ar)), 24.01 (с, CHCH₂CH₂CH₂), 28.09 (с, CHCH₂CH₂CH₂), 66.20 (с, OCH₂), 90.25 (с, NCH), 119.19 (кв, CF₃, J_{CF} = 270.0), 128.16, 130.55 (оба с, C(Ar)H), 135.46 (кв, CCF₃, ²J_{CF} = 40.8), 135.54 (с, C(Ar)SO₂), 145.76 (с, C(Het)SO₂), 146.34 (с, C(Ar)Me).

4-(1,1,2,2,3,3-Гексафторпропил)-2-(тетрагидропиран-2-ил)-5-(*n*-толилсульфонил)-2*H*-[1,2,3]триазол (7b**).** Выход — 98%, бесцв. масло. ЯМР ¹H (CDCl₃, δ, м.д., J/Гц): 1.70, 2.06, 2.32 (все м, 6H, CHCH₂CH₂CH₂), 2.44 (с, 3H, CH₃(Ar)), 3.73 (м, 1H, OCH_ACH_B), 3.93 (м, 1H, OCH_ACH_B), 5.80 (д.д., 1H, NCH, ³J_{HH} = 3.0, ³J_{HH} = 7.5), 6.29 (т.т.,

1H, HCF₂, ²J_{HF} = 52.0, ³J_{HF} = 5.8), 7.36, 7.92 (оба д, по 2H, C₆H₄, ³J_{HH} = 8.0). ЯМР ¹⁹F (CDCl₃, δ, м.д.): –107.85, –131.37 (оба м, 2F, CF₂), –138.01 (д.м., 2F, HCF₂, ²J_{HF} = 52.0).

3-(1,1,2,2,3,3-Гексафторпропил)-4-(*n*-толилсульфонил)-1-(1-этоксиэтил)-1*H*-пиразол (8b**).** Выход — 94%, бесцв. кристаллы с Т.пл. 102–103°C (из Et₂O). ЯМР ¹H (CDCl₃, δ, м.д., J/Гц): 1.19 ABX₃ (д.д., 3H, CH₃CH₂O, ³J_{HH} = 7.0), 1.68 (д, 3H, CH₃CH, J = 6.0), 2.43 (с, 3H, CH₃(Ar)), 3.46 ABX₃ (д.д.кв., 2H, CH₃CH₂O, J_{AB} = 9.3, ³J_{HH} = 7.0), 5.54 (кв, 1H, NCH, J = 6.0), 6.27 (т.т., 1H, HCF₂, ²J_{HF} = 52.0, ³J_{HF} = 6.0), 7.32, 7.81 (оба д, по 2H, C₆H₄, ³J_{HH} = 8.0), 8.30 (с, 1H, CH=N). ЯМР ¹⁹F (CDCl₃, δ, м.д.): –107.78, –132.27 (оба м, 2F, CF₂), –138.25 (д.м., 2F, HCF₂, ²J_{HF} = 52.0). ЯМР ¹³C (ДМСО-d₆, δ, м.д., J/Гц): 14.61 (с, CH₃CH₂), 20.71 (с, CH₃CH), 21.06 (с, CH₃(Ar)), 64.08 (с, CH₃CH₂), 88.53 (с, CH₃CH), 106.4 (т.м., HCF₂CF₂CF₂, J_{CF} = 258.0), 108.39 (т.т., HCF₂CF₂CF₂, J_{CF} = 250.0, ²J_{CF} = 30.0), 112.09 (т.т., HCF₂CF₂CF₂, J_{CF} = 252.0, ²J_{CF} = 29.0), 124.00 (с, C(Ar)SO₂), 127.26, 130.02 (оба с, C(Ar)H), 136.31 (с, NCH), 137.09 (т., CCF₂, ²J_{CF} = 31.5), 138.47 (с, C(Het)SO₂), 144.59 (с, C(Ar)Me).

1-(Тетрагидропиран-2-ил)-4-(*n*-толилсульфонил)-3-трифторметил-1*H*-пиразол (9a**).** Выход — 86%, св.-желтое масло. ЯМР ¹H (CDCl₃, δ, м.д., J/Гц): 1.66, 1.98, 2.15 (все м, 6H, CHCH₂CH₂CH₂), 2.42 (с, 3H, CH₃(Ar)), 3.71 (м, 1H, OCH_ACH_B), 4.07 (м, 1H, OCH_ACH_B), 5.40 (д.д., 1H, NCH, ³J_{HH} = 3.0, ³J_{HH} = 9.0), 7.31, 7.83 (оба д, по 2H, C₆H₄, ³J_{HH} = 8.0), 8.29 (с, 1H, CH(Pyr)). ЯМР ¹⁹F (CDCl₃, δ, м.д.): –61.68 (с, CF₃).

3-(1,1,2,2,3,3-Гексафторпропил)-1-(тетрагидропиран-2-ил)-4-(*n*-толилсульфонил)-1*H*-пиразол (9b**).** Выход — 89%, св.-желтое масло. ЯМР ¹H (CDCl₃, δ, м.д., J/Гц): 1.68, 1.97, 2.16 (все м, 6H, CHCH₂CH₂CH₂), 2.42 (с, 3H, CH₃(Ar)), 3.72 (м, 1H, OCH_ACH_B), 4.05 (м, 1H, OCH_ACH_B), 5.43 (д.д., 1H, NCH, ³J_{HH} = 2.5, ³J_{HH} = 9.0), 6.28 (т.т., 1H, HCF₂, ²J_{HF} = 52.0, ³J_{HF} = 5.8), 7.30, 7.81 (оба д, по 2H, C₆H₄, ³J_{HH} = 8.0), 8.35 (с, 1H, CH=N). ЯМР ¹⁹F (CDCl₃, δ, м.д.): –107.55, –132.26 (оба м, 2F, CF₂), –138.26 (д.м., 2F, HCF₂, ²J_{HF} = 52.0). ЯМР ¹³C (CDCl₃, δ, м.д., J/Гц): 21.36 (с, CHCH₂CH₂CH₂), 21.62 (с, CH₃(Ar)), 24.58 (с, CHCH₂CH₂CH₂), 30.60 (с, CHCH₂CH₂CH₂), 67.84 (с, OCH₂), 88.60 (с, NCH), 108.04 (т.т., HCF₂CF₂CF₂, J_{CF} = 253.0, ²J_{CF} = 30.0), 110.14 (т.м., HCF₂CF₂CF₂, J_{CF} = 264.0), 112.15 (т.т., HCF₂CF₂CF₂, J_{CF} = 253.0, ²J_{CF} = 30.0), 125.45 (с, C(Ar)SO₂), 127.90, 129.79 (оба с, C(Ar)H), 134.33 (кв, NC(Pyr), ⁴J_{CF} = 2.1), 138.36 (с, C(Pyr)SO₂), 138.41 (т, C(Pyr)CF₂, J_{CF} = 32.0), 144.74 (с, C(Ar)Me).

5-Бром-3-(1,1,2,2,3,3-гексафторпропил)-4-(*n*-толилсульфонил)-1-(1-этоксиэтил)-1*H*-пиразол (10**).** Выход — 90%, св.-желтое масло. ЯМР ¹H (CDCl₃, δ, м.д., J/Гц): 1.15 ABX₃ (д.д., 3H, CH₃CH₂O, ³J_{HH} = 7.0), 1.69 (д, 3H, CH₃CH, J = 6.0), 2.44 (с, 3H, CH₃(Ar)), 3.37 ABX₃ (д.д.кв., 2H, CH₃CH₂O, J_{AB} = 9.0, ³J_{HH} = 7.0), 5.83 (кв, 1H, NCH, J = 6.0), 6.47

(т.т, 1H, HCF₂, ²J_{HF} = 52.5, ³J_{HF} = 6.0), 7.34, 7.94 (оба д, по 2H, C₆H₄, ³J_{HH} = 8.0). ЯМР ¹⁹F (CDCl₃, δ, м.д.): -106.21, -131.24 (оба м, 2F, CF₂), -138.00 (д.м, 2F, HCF₂, ²J_{FH} = 52.5).

Рентгеноструктурные исследования. Монокристаллы соединений **6a** и **8b** получали кристаллизацией из Et₂O. Рентгеноструктурные исследования монокристаллов соединений **6a** и **8b** проводили при комнатной температуре на автоматическом CCD дифрактометре Bruker Smart Apex II (MoKα — излучение, графитовый монохроматор, ω/φ сканирование). Структуры расшифровывали прямым методом и уточняли методом наименьших квадратов в полноматричном анизотропном приближении с использованием программ SHELXS97 [8] и SHELXL97 [9]. Все атомы водорода были выявлены из разностного синтеза электронной плотности и включены в уточнение с фиксированными позиционными и тепловыми параметрами. При уточнении была использована весовая

схема $\omega = 1/[\sigma^2(Fo^2) + (0.1006P)^2 + 0.8932P]$, где P = (Fo² + 2Fc²)/3. Учет поглощения в кристалле был выполнен по процедуре SADABS [10]. Полный набор рентгеноструктурных данных для соединений **6a** и **8b** депонирован в Кембриджском банке структурных данных (**6a**: CCDC 665407; **8b**: CCDC 665408).

Выводы

1. Показана возможность региоселективного синтеза 2-*N*-алкилзамещённых производных 1,2,3-триазолов на примере реакций присоединения *NH*-триазолов, содержащих электроноакцепторные группы в положениях 4 и 5 гетероцикла, к винилэтиловому эфиру и 3,4-дигидро-2Н-пирану.

2. Найдено, что в аналогичных реакциях 3-половиторалкил-4-(п-толилсульфонил)-1*H*-пиразолов образуются исключительно 1-*N*-алкилзамещённые производные. Строение полученных соединений доказано инструментальными методами.

Література

- Elguero J. Pyrazoles and their Benzo Derivatives. — In: Comprehensive Heterocyclic Chemistry / Ed. A.R.Katritzky, C.W.Rees. — New York: Elsevier Science, 1997. — Vol. 5. — P. 167-303.
- Бандера Ю.П., Канищев А.С., Тимошенко В.М. и др. // ХГС. — 2007. — №9. — С. 1342-1352.
- Katritzky A., Rachwal S., Rachwal B. // J. Chem. Soc., Perkin Trans. I. — 1990. — №6. — P. 1717-1725.
- Канищев А.С., Бандера Ю.П., Тимошенко В.М. и др. // ХГС. — 2007. — №7. — С. 1052-1058.
- Тимошенко В.М., Николин Я.В., Чернега А.Н. и др. // ХГС. — 2001. — №4. — С. 518-524.
- Perrin M., Thozet A., Cabildo P. et al. // Can. J. Chem. — 1993. — Vol. 71, №9. — P. 1443-1449.
- Schmidt M.W., Baldridge K.K., Boatz J.A. et al. // J. Comput. Chem. — 1993. — Vol. 14, №11. — P. 1347-1363.
- Sheldrick G.M. SHELXS97. Program for the Solution of Crystal Structure. — Gottingen: University of Gottingen, 1997.
- Sheldrick G.M. SHELXL97. Program for the Refinement of Crystal Structures. — Gottingen: University of Gottingen, 1997.
- Sheldrick G.M. SADABS: Program for scaling and correction of area detector data. — Gottingen: University of Gottingen, 1996.

Надійшла до редакції 10.11.2008 р.

Авторы выражают благодарность к.х.н. Нестеренко А.М. за проведение квантово-химических расчетов.